

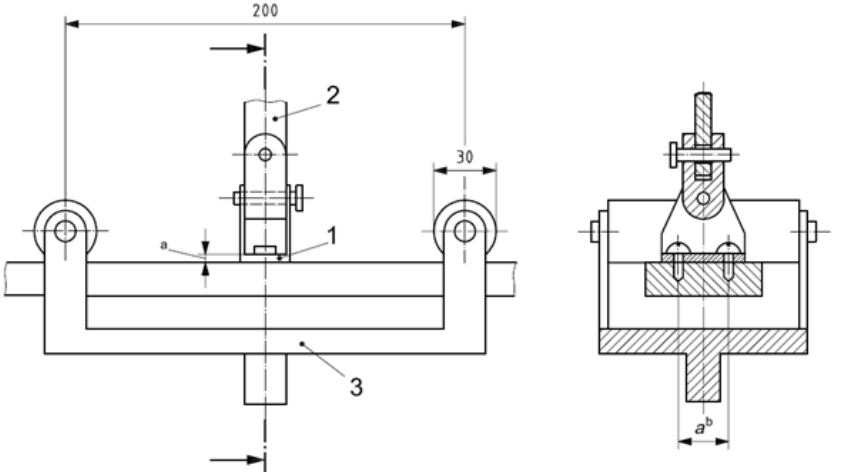
# 국 문 규격서

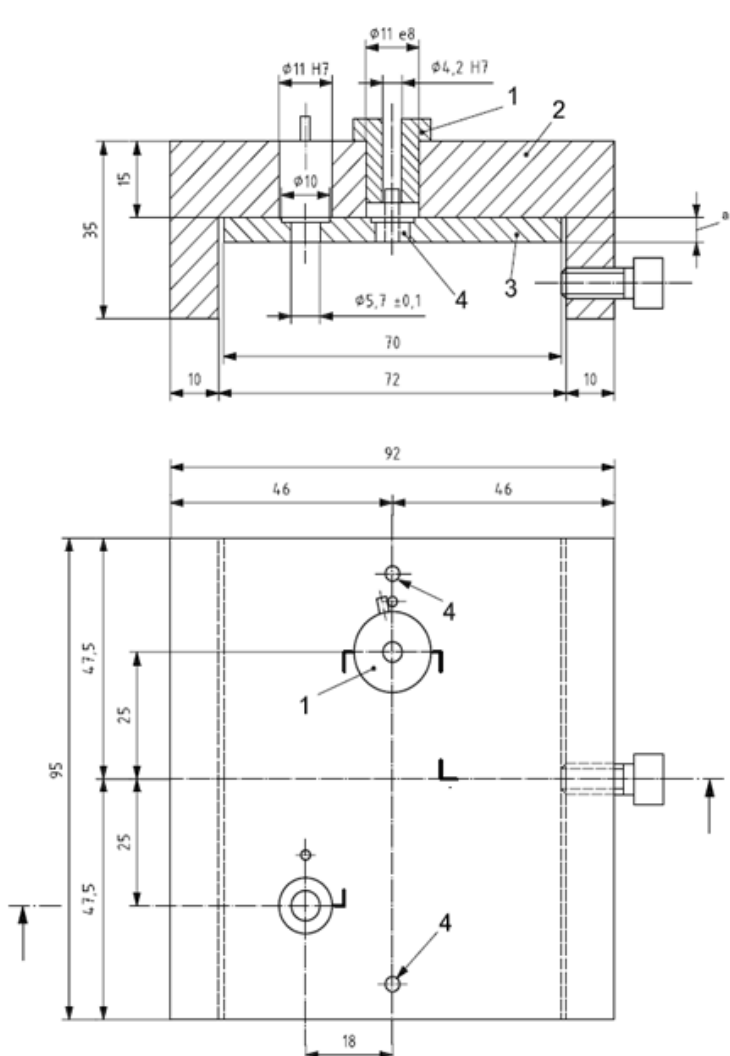
관세분류번호 H.S.K NO.	품목번호 ITEM NO.	품목 및 규격서 DESCRIPTION	수량 Q'TY	단위 UNIT
		스키, 스노보드 관련 시험장치	1	set

## 1. 세부 규격

- 1) 나사유지강도/당김시험용 지그 - 1 set
- 2) 드릴 지그 - 1 set
- 3) 동적마찰계수 시험용 지그 - 1 set
- 4) 바인딩 플립 시험장치 1 set (6종) : 구동장치와 측정장치 포함
- 5) 스트랩 바인딩 시험장치 1 set : 구동장치와 측정장치 포함
- 6) 스키 휠시험 지그 - 1 set
- 7) 비틀림 모멘트 그래프 측정장치 - 1 set
- 8) 스노보드 바인딩부착부위 당김저항시험용 지그 - 1 set
- 9) 진동 충격용 철제 실린더 - 1 set
- 10) 반복휠 시험장치 - 1 set
- 11) 충격 시험장치 (3종) - 1 set

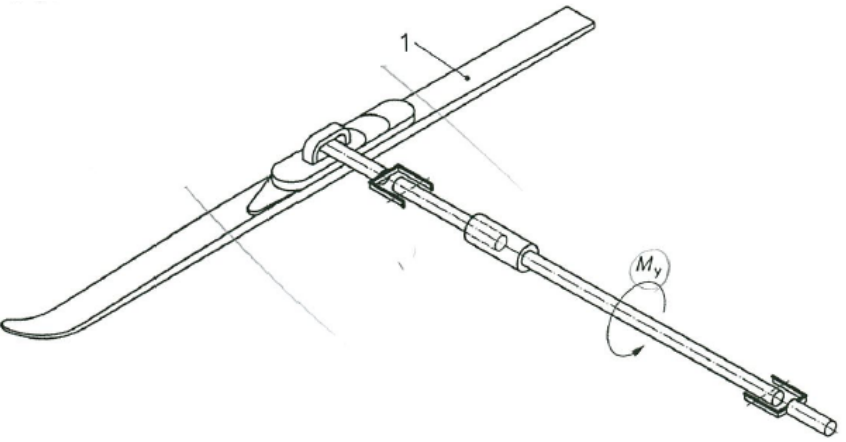
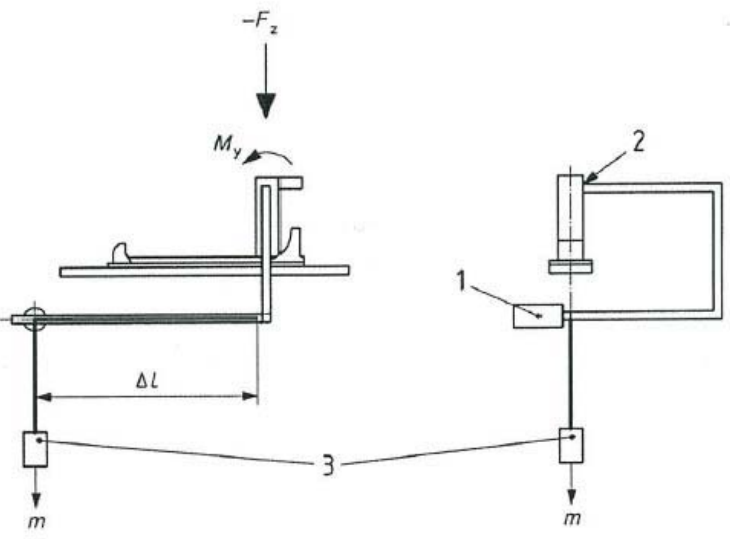
## 2. 장비 규격

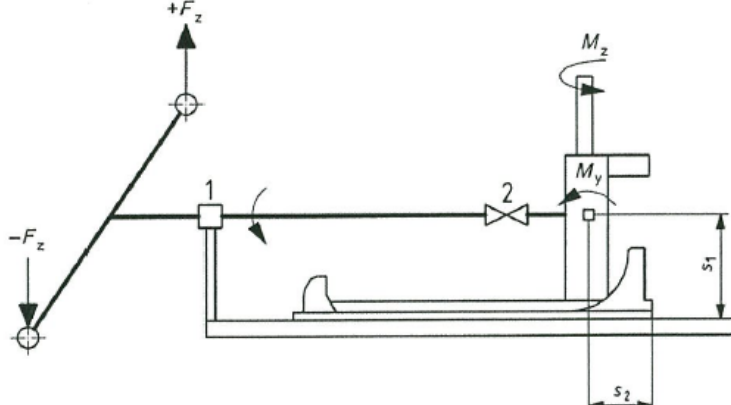
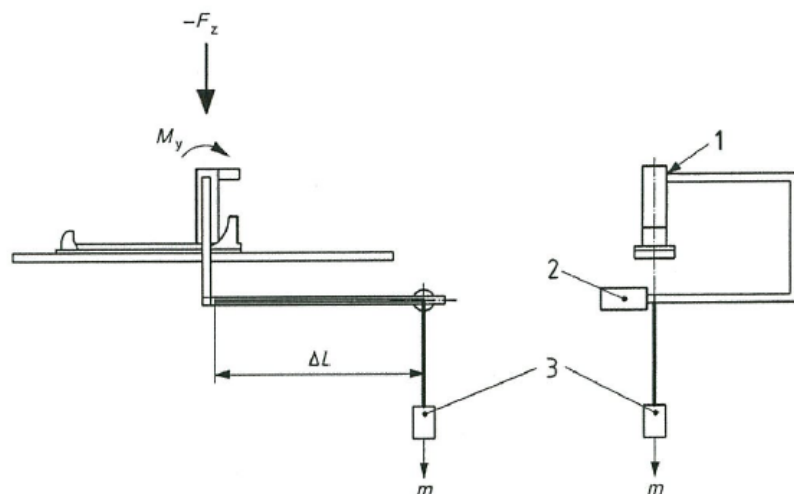
번호	사양	비고
1	<p><b>유지강도 - 당김시험장치</b>      인장시험기(그림 5와 같은 당김 장치를 갖는 것)는 10 000 N의 최소 하중 범위를 갖는 장치를 사용하여 시험한다.</p>  <p>주      1 철재 부착판      2 유니버설 조인트      3 스키 지지대      a 요구되는 관통 깊이에 따른 두께      b 그룹 1 및 2의 a = 25 mm, 그룹 3 및 4의 a = 20 mm      그림 5 – 당김 장치가 있는 인장 시험기</p>	ISO 8364 ISO 10958-2
2	<b>제거저항력 - 드릴 지그</b>	ISO 8364

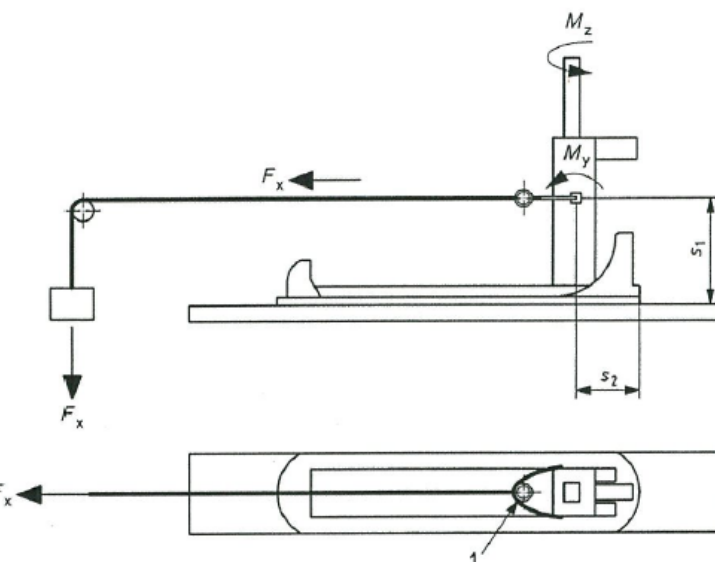
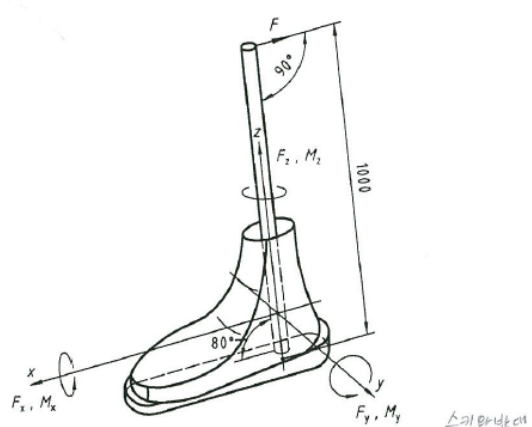
번호	사양	비고
	 <p>단위 : mm.</p> <p>주 :      1 드릴 지그 보실      2 드릴 지그      3 마찰판      a 필요한 관통 깊이에 따른 두께..</p> <p>그림 6 – 드릴 및 시험 지그</p>	ISO 5355

번호	사양	비고
	<p><b>4.3.9 저마찰영역</b></p> <p><b>4.3.9.1 요구사항</b></p> <p><b>4.3.9.1.1</b> 부초의 저마찰 영역과 폴리테트라플루오로에틸렌(PTFE)의 저마찰 요소 간의 동적 마찰 계수는 소수점 둘째 자리에서 반올림할 경우 최대 0.10의 값을 가져야 한다.</p> <p><b>4.3.9.1.2</b> 부초의 좌우 움직임을 방해할 수 있는 어떤 물체도 저마찰 영역보다 아래에 있어서는 안 된다.</p> <p><b>4.3.9.2 시험방법</b></p> <p><b>4.3.9.2.1 원리</b></p> <p>동적 마찰 계수는 저마찰 요소에 가해지는 하중 <math>F_2</math>에 대한 부초의 저마찰 영역에서 저마찰 요소를 움직이는 데 필요한 하중 <math>F_1</math>의 비율에 의해 결정된다.</p> <p><b>4.3.9.2.2 시험장비 및 환경조건</b></p> <p>다음의 시험 장비 및 환경 조건이 필요하다.</p> <ul style="list-style-type: none"> <li>a) 적어도 3개의 서로 다른 크기를 갖는 6개의 샘플 부초를 시험 직전의 마지막 12시간을 포함하여 최소 14일간 표준 환경하에서 전처리를 실시한다.</li> <li>b) 100 mm 이상의 넓이, 40 mm의 길이, 1 mm 이상의 두께로 얇게 제작된 PTFE의 저마찰 요소는 다음과 같은 특징이 있다.       <ul style="list-style-type: none"> <li>1) KS M ISO 1183의 방법 A에 따라 측정된 <math>2.18 \text{ g/cm}^3 \pm 3\%</math>의 밀도.</li> <li>2) KS M ISO 527 - 1 또는 그림 10의 시험편에 대하여 측정된 <math>28.8 \text{ N/mm}^2</math> 이상의 평균 인장 강도.</li> <li>3) KS M ISO 527 - 1 또는 그림 10의 시험편에 대하여 측정된 300 이상의 평균 연신률.</li> <li>4) KS M ISO 2039 - 1의 방법 B에 따라 측정된 <math>22.8 \text{ N/mm}^2</math> 이상의 강구 - 압입 경도.</li> <li>5) <math>6 \mu\text{m}</math> 미만의 표면 거칠기.</li> </ul> </li> <li>c) 저마찰 요소는 마모의 흔적이 보일 때까지 30회 이상의 측정에 사용될 수 있다.</li> <li>d) KS A 0006에 따른 표준 환경 : 23/50.</li> <li>e) 시험 하중 <math>F_1</math> :       <ul style="list-style-type: none"> <li>A형 = <math>(500 \pm 5) \text{ N}</math>.</li> <li>C형 = <math>(300 \pm 5) \text{ N}</math>.</li> </ul> </li> <li>f) 측정 거리 : 8 mm.</li> <li>g) 저마찰 요소에 대한 부초의 상대 속도는 <math>(1 \pm 0.2) \text{ mm/s}</math>가 되어야 한다.</li> </ul> <p style="text-align: right;">단위 : mm</p> <p style="text-align: center;">그림 22 – PTFE 시편</p>	

번호	사양	비고
	<p><b>4.3.9.2.3 시험절차</b></p> <p>평가에 사용하지 않은 10회의 예비 측정값을 제출한다...</p> <p>시험용 부츠의 절마찰 영역을 부드러운 솔로 문지르고 중성 비누와 뜨거운 물을 사용하여 깨끗이 닦고 말린다. 손질 후, 절마찰 영역은 기름기 또는 비누기가 없어야 한다...</p> <p>각각의 부츠에 대하여 5회의 측정을 실시하고 그 중 최초 측정값은 무시한다. 적절한 지지 장치(그림 23 참조)를 사용하면 시험용 바닥을 방지할 수 있는 경우, 1 mm 이상의 변형이 시험용 바닥에 발생하면 안 된다...</p> <p>4회의 측정값에 대한 오차는 <math>\pm 5\%</math> 이하이어야 한다...</p> <p>다음 시험용 부츠를 측정하기 전에 절마찰 요소를 부드럽고 깨끗한 천으로 문질러서 청소한다. 손질 후, 절마찰 요소는 기름기가 없어야 한다...</p> <p>24개의 측정값(부츠 6개 <math>\times</math> 각 부츠당 4회 측정)의 평균을 동적 마찰 계수로 결정한다...</p> <p style="text-align: right;">단위: mm.</p>	
4-1	<p><b>단순 비틀림 시험(<math>M_z</math>) – 시험장치</b></p> <p>스키를 시험용 틀에 견고하게 연결하고 토크(<math>M_z</math>)를 바인딩이 풀릴 때까지 부츠 바닥에 점진적으로 가할 수 있는 구동장치와 측정장치가 포함되어 있어야 함.</p> <p style="text-align: center;">1 고정된 스키</p> <p style="text-align: center;">그림 2 – 토크 <math>M_z</math>의 적용 및 <math>M_{z,\max}</math>의 측정</p>	ISO 9462
4-2	<b>전방 굽힘 시험(<math>My</math>) – 시험장치</b>	

번호	사양	비고
	<p>스키를 시험용 틀에 견고하게 연결하고 토크(<math>M_y</math>)를 바인딩이 풀릴 때까지 부츠 바닥에 점진적으로 가할 수 있는 구동장치와 측정장치가 포함되어 있어야 함.</p>  <p>1 고정된 스키</p> <p>그림 4 – 토크 <math>M_y</math>의 적용 및 <math>M_{y,max}</math>의 측정</p>	
4-3	<p><b>신체의 전방 기울기의 영향 - 시험장치</b></p> <p>복합하중의 다음 상태에서, 바인딩을 오른쪽 방향의 비틀림(<math>M_z</math>)에서 5회 풀림시험을 할 수 있는 구동장치와 측정장치가 포함되어 있어야 함.</p>  <p>1 시험고정물에 의해 발생한 <math>M_x</math>를 상쇄하기 위한 균형 질량</p> <p>2 모멘트 및 힘</p> <p>3 추가 질량</p> <p>그림 A.1 – 전방 기울기의 영향</p>	
4-4	<p><b>회전하중의 영향 - 시험장치</b></p> <p>복합하중의 다음 상태에서, 바인딩을 오른쪽 방향의 비틀림(<math>M_z</math>)에서 5회 풀림시험을 할 수 있는 구동장치와 측정장치가 포함되어 있어야 함.</p>	

번호	사양	비고
	 <p>1 축 볼네어링 2 카디악 조인트</p> <p>그림 A.2 – 회전하중의 영향</p>	
4-5	<p><b>후방 기울기의 영향 – 시험장치</b></p> <p>복합하중의 다음 상태에서, 바인딩을 오른쪽 방향의 비틀림(<math>M_z</math>)에서 5회 풀림시험을 할 수 있는 구동장치와 측정장치가 포함되어 있어야 함.</p>  <p>1 모멘트 및 힘 2 균형 질량 3 추가 하중</p> <p>그림 A.3 – 후방 기울기의 영향</p>	
4-6	<p><b>축방향 힘의 영향 – 시험장치</b></p> <p>복합하중의 다음 상태에서, 바인딩을 오른쪽 방향의 비틀림(<math>M_z</math>)에서 5회 풀림시험을 할 수 있는 구동장치와 측정장치가 포함되어 있어야 함.</p>	

번호	사양	비고												
	 <p>그림 A.4 – 축방향 힘의 영향</p>													
5	<p><b>역학시험 - 스트랩 바인딩 시험장치</b>          원래의 연결 수단으로 강판 위에 스노보드 바인딩을 설치한다.          스노보드 바인딩, 강판, 부츠 그리고 인조 다리를 <math>-20^{\circ}\text{C}</math>에서 1.5시간 동안 전처리한 후 최고 <math>23^{\circ}\text{C}</math>(실내 온도)에서 부츠와 인조 다리에 양 방향으로 표 1에 따라 토크 <math>M</math>을 적용할 수 있는 구동장치와 측정장치가 포함되어 있어야 함.</p> <p><b>표 1 방향과 토크</b></p> <table border="1" data-bbox="420 1179 1103 1381"> <thead> <tr> <th>방향</th> <th>바인딩 A형 토크 <math>M</math> N · m</th> <th>바인딩 C형 토크 <math>M</math> N · m</th> </tr> </thead> <tbody> <tr> <td><math>\pm x</math></td> <td>100</td> <td>66</td> </tr> <tr> <td><math>\pm y^{(1)}</math></td> <td>250</td> <td>165</td> </tr> <tr> <td><math>\pm z</math></td> <td>150</td> <td>100</td> </tr> </tbody> </table> <p>주<sup>(1)</sup> 오픈 토(toe) 스트랩 1회와 클로즈드 토 스트랩 1회          단위 : mm</p>  <p>그림 1 토크와 하중</p>	방향	바인딩 A형 토크 $M$ N · m	바인딩 C형 토크 $M$ N · m	$\pm x$	100	66	$\pm y^{(1)}$	250	165	$\pm z$	150	100	ISO 14573
방향	바인딩 A형 토크 $M$ N · m	바인딩 C형 토크 $M$ N · m												
$\pm x$	100	66												
$\pm y^{(1)}$	250	165												
$\pm z$	150	100												